

**АСИМПТОТИЧЕСКИЙ АНАЛИЗ СТАЦИОНАРНОГО  
РАСПРОСТРАНЕНИЯ ФРОНТА ДВУХСТАДИЙНОЙ  
ПОСЛЕДОВАТЕЛЬНОЙ ЭКЗОТЕРМИЧЕСКОЙ РЕАКЦИИ  
В КОНДЕНСИРОВАННОЙ СРЕДЕ**

*В. С. Берман, Ю. С. Рязанцев*

(Москва)

В работе развита приближенная теория стационарного распространения плоского фронта двухстадийной экзотермической последовательной химической реакции в конденсированной среде. При построении решений используется метод сращиваемых асимптотических разложений. Параметром разложения является отношение суммы энергий активаций реакций к конечной адиабатической температуре горения. Выявлены характерные предельные режимы стационарного распространения волны, соответствующие различным значениям фигурирующих в задаче параметров. Для каждого из режимов получены приближенные аналитические выражения для скорости волны и распределения концентраций.

**1. Формулировка задачи.** Стационарное распространение плоского фронта двухстадийной последовательной экзотермической реакции  $A_1 \rightarrow A_2 \rightarrow A_3$  в конденсированной среде может быть описано следующей системой уравнений и граничных условий:

$$\frac{d}{dx} \left( \lambda \frac{dT}{dx} \right) - mc \frac{dT}{dx} + Q_1 a_1 \rho \Phi_1(T) + Q_2 a_2 \rho \Phi_2(T) = 0 \quad (1.1)$$

$$m \frac{da_1}{dx} = -a_1 \rho \Phi_1(T) \quad (1.2)$$

$$m \frac{da_2}{dx} = a_1 \rho \Phi_1(T) - a_2 \rho \Phi_2(T) \quad (1.3)$$

$$\Phi_1(T) = k_1 \exp \frac{-E_1}{RT}, \quad \Phi_2(T) = k_2 \exp \frac{-E_2}{RT} \quad (1.4)$$

$$x = -\infty, \quad a_1 = 1, \quad T = T_-, \quad a_2 = 0 \quad (1.5)$$

$$x = \infty, \quad a_1 = a_2 = 0, \quad T = T_+ = T_- + c^{-1} (Q_1 + Q_2) \quad (1.6)$$

Здесь  $x$  — координата,  $a_1, a_2$  — массовые доли веществ  $A_1, A_2$ ,  $T$  — температура,  $\rho$  — плотность,  $m$  — массовая скорость горения,  $c$  — теплоемкость,  $\lambda$  — теплопроводность,  $R$  — газовая постоянная,  $Q_1, Q_2$  — тепловые эффекты реакций,  $k_1, k_2$  — предэкспоненциальные множители,  $E_1, E_2$  — энергии активации.

Предполагается, что в ходе химических реакций плотность и все теплофизические характеристики среды сохраняют постоянные значения и что скорости химических реакций зависят от температуры по закону Аррениуса.

Задача (1.1)–(1.6) является двухточечной краевой задачей, решение которой заключается в определении функций  $a_1(x), a_2(x), T(x)$  и собственного значения задачи  $m$ .

Для существования решения принимается, что функция  $\Phi_1$  отлична от нуля и определяется формулой (1.4) везде, кроме малого интервала температур  $T_- \leq T < T_\varepsilon$ , где она обращается в нуль [1, 2].

Задача (1.1)–(1.6) имеет первый интеграл

$$\lambda dT/dx = mc(T - T_+) + m(Q_1 + Q_2)a_1 + mQ_2a_2 \quad (1.7)$$

Уравнение (1.7) будет использоваться вместо уравнения (1.1). Если принять температуру за независимую переменную, задачу (1.2)–(1.7) можно представить в виде

$$\mu \frac{dr}{d\tau} = \frac{\sigma_k(1-r)}{\tau - \sigma_Q r - (1 - \sigma_Q)q} \exp \left[ -\beta \sigma_E - \frac{\beta \sigma_E(1-\tau)}{\sigma + \tau} \right] \quad (1.8)$$

$$\mu \frac{dq}{d\tau} = \frac{(1 - \sigma_k)(r - q)}{\tau - \sigma_Q r - (1 - \sigma_Q)q} \exp \left[ -\beta(1 - \sigma_E) - \frac{\beta(1 - \sigma_E)(1 - \tau)}{\sigma + \tau} \right] \quad (1.9)$$

$$\tau = 0, \quad r = 0, \quad q = 0 \quad (1.10)$$

$$\tau = 1, \quad r = 1, \quad q = 1 \quad (1.11)$$

$$r = 1 - a_1, \quad q = 1 - a_1 - a_2, \quad \sigma_k = \frac{k_1}{k_1 + k_2}, \quad \sigma_E = \frac{E_1}{E_1 + E_2}$$

$$\sigma_Q = \frac{Q_1}{Q_1 + Q_2}, \quad \beta = \frac{E_1 + E_2}{RT_+}, \quad \tau = \frac{T - T_-}{T_+ - T_-}, \quad \sigma = \frac{T_-}{T_+ - T_-}, \quad \mu = \frac{m^2 c}{\lambda \rho (k_1 + k_2)}$$

Здесь  $r(\tau)$  и  $q(\tau)$  — искомые функции,  $\mu$  — собственное значение задачи.

**2. Некоторые свойства интегральных кривых.** В пространстве  $\tau, r, q$  интегральные кривые задачи (1.8)–(1.11) должны проходить через точки  $(\tau_\varepsilon, 0, 0)$  и  $(1, 1, 1)$ ,  $0 < \tau_\varepsilon \leq 1$ . Из условия неотрицательности концентрации и последовательности превращения реагентов  $r \geq q \geq 0$  и условия неотрицательности градиента температуры (теплового потока)  $\tau - \sigma_Q r - (1 - \sigma_Q)q \geq 0$ , а также из граничных условий можно заключить, что область, где располагаются имеющие физический смысл интегральные кривые, ограничена пятью плоскостями (см. фигуру)

$$q = 0, \quad r = q, \quad \tau = 1, \quad r = 1, \\ \tau - \sigma_Q r - (1 - \sigma_Q)q = 0$$

Точка  $(\tau_\varepsilon, 0, 0)$ , соответствующая холодной границе волны горения, является обыкновенной точкой, в то время как точка  $(1, 1, 1)$ , соответствующая горячей границе зоны горения, особая. Через нее проходят три интегральные кривые

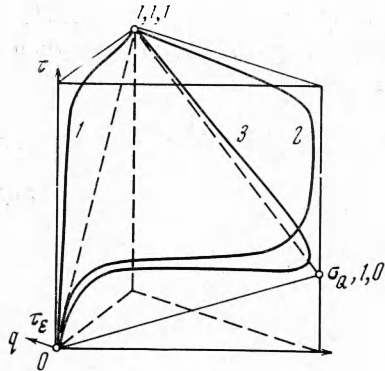
$$\left( \frac{dr}{d\tau} \right)_1 = \left( \frac{dq}{d\tau} \right)_1 = 0 \quad (2.1)$$

$$\left( \frac{dr}{d\tau} \right)_2 = 0, \quad \left( \frac{dq}{d\tau} \right)_2 = \frac{1}{1 - \sigma_Q} + \frac{1 - \sigma_k}{\mu(1 - \sigma_Q)} e^{-\beta(1 - \sigma_E)} \quad (2.2)$$

$$\left( \frac{dr}{d\tau} \right)_3 = - \left( \frac{dq}{d\tau} \right)_3 \left[ \frac{\sigma_k}{1 - \sigma_k} e^{(1 - 2\sigma_E)\beta} - 1 \right],$$

$$\left( \frac{dq}{d\tau} \right)_3 = \left( 1 + \frac{\sigma_k}{\mu} e^{-\beta \sigma_E} \right) \left[ 1 - \frac{\sigma_Q \sigma_k}{1 - \sigma_k} e^{(1 - 2\sigma_E)\beta} \right]^{-1} \quad (2.3)$$

Первая из этих кривых не может быть решением задачи ни при каких значениях параметров, так как эта интегральная кривая не попадает в



область допустимых значений  $\tau$ ,  $r$ ,  $q$  (фигура). Две других кривых могут представлять собой решение. Из (2.3) видно, что при больших  $\beta$  одна из производных должна быть отрицательной, если  $\sigma_E < 1/2$ . Такая кривая не может быть решением, так как функции  $r$  и  $q$  должны быть возрастающими. При  $\sigma_E < 1/2$  решение задачи представляется кривой (2.2).

Отметим еще одно свойство уравнений (1.8), (1.11). Прямая  $\tau - \sigma_Q r - (1 - \sigma_Q) q = 0$  на плоскости  $r = 1$ , соединяющая точки  $(\sigma_Q, 1, 0)$  и  $(1, 1, 1)$ , состоит из особых точек уравнения (1.8). Каждая из этих точек является седлом, через которое в плоскости  $q = \text{const}$  проходят две сепаратрисы с касательными

$$\left(\frac{dr}{d\tau}\right)^{(1)} = 0, \quad \left(\frac{dr}{d\tau}\right)^{(2)} = \frac{\sigma_k}{\mu\sigma_Q} \exp \frac{-\beta\sigma_E(1+\sigma)}{\sigma_Q+\sigma} - \frac{1}{\sigma_Q} \quad (2.4)$$

**3. Предварительный анализ уравнений. Описание частных случаев.** В п. 4–7 методом сращиваемых асимптотических разложений [3] будут построены приближенные решения задачи (1.8)–(1.11), соответствующие различным значениям параметра  $\sigma_E$ . Эти частные случаи выявляются при последовательном анализе различных предположений о возможном асимптотическом поведении собственного значения  $\mu$  и функций  $r$  и  $q$  при больших  $\beta$ . Прежде чем перейти к построению решений, наметим ход рассуждений, однозначно приводящий к исследованным далее существенно различным частным случаям.

Из вида уравнений (1.8), (1.9) следует, что при больших значениях  $\beta$  области, в которых происходит основное изменение функций  $r$  и  $q$ , могут занимать малые доли интервала  $0 \leq \tau \leq 1$ . Правые части уравнений (1.8), (1.9) содержат малые экспоненциальные множители, которые при больших значениях  $\beta$  должны быть скомпенсированы, чтобы функции  $r$  и  $q$  на интервале  $0 \leq \tau \leq 1$  могли возрасти от 0 до 1. Для компенсации этих множителей необходимо принять, что величина  $\mu$  включает в себя множитель  $\exp(-\beta\alpha)$ , при этом компенсация экспоненциальных членов в уравнениях (1.8), (1.9) будет иметь место в точках  $\tau = \tau_1^\circ$  и  $\tau_2^\circ$

$$\tau_1^\circ = \alpha^{-1}\sigma_E(1+\sigma) - \sigma, \quad \tau_2^\circ = \alpha^{-1}(1-\sigma_E)(1+\sigma) - \sigma \quad (3.1)$$

Выбор константы  $\alpha$  определяет положение точек  $\tau_1^\circ$ ,  $\tau_2^\circ$  и асимптотическое поведение функций  $r(\tau)$ ,  $q(\tau)$ .

Пусть  $0 \leq \tau_1^\circ \leq 1$ ,  $\tau_2^\circ < 0$ . При таком выборе  $\alpha$  экспоненциальный множитель компенсируется лишь в выражении для производной  $dr/d\tau$ , в то время как в выражении для  $dq/d\tau$  появляется растущая экспонента. При  $\tau < \tau_1^\circ$  производная  $dr/d\tau$  и функция  $r(\tau)$  экспоненциально малы. Малая окрестность точки  $\tau = \tau_1^\circ$  является областью основного изменения функции  $r(\tau)$  от нуля до единицы. Компенсация растущего экспоненциального множителя в выражении для  $dq/d\tau$  может обеспечиваться соответствующим поведением разности  $r - q$ , которая должна быть экспоненциально малой, при этом область основного изменения  $q$  от 0 до 1 будет совпадать с соответствующей областью изменения  $r$ , т. е. представлять собой малую окрестность точки  $\tau = \tau_1^\circ$ . Из условия  $\tau - \sigma_Q r - (1 - \sigma_Q) q > 0$  тогда следует, что это возможно, если  $\tau_1^\circ = 1$ . Из (3.1) находим, что  $\alpha = \sigma_E$ . Разделив (1.9) на (1.8), получим

$$\frac{dq}{dr} = \frac{r-q}{1-r} e^{-\beta(1-2\sigma_E)} \exp \frac{-\beta(1-2\sigma_E)(1-\tau)}{\sigma+\tau} \quad (3.2)$$

Из уравнения (3.2) видно, что область основного изменения  $q$  может совпадать с областью основного изменения  $r$  лишь при  $\sigma_E > 1/2$  и должна

располагаться в малой окрестности  $\tau = 1$ . Случай  $\sigma_E = 1/2$  будет несколько отличаться от случая  $1/2 < \sigma_E \leq 1$ . Хотя области основного изменения  $r$  и  $q$  здесь будут совпадать и располагаться вблизи  $\tau = 1$ , разность  $r - q$  уже не будет экспоненциально малой.

Интегральные кривые задачи (1.8)–(1.11) при  $1/2 < \sigma_E \leq 1$  при больших  $\beta$  характеризуются одинаковым асимптотическим поведением. В особой точке  $(1, 1, 1)$  им соответствуют значения производных, определяемые формулой (2.3). Ход этих кривых, проходящих вблизи прямых  $r = 0$ ,  $q = 0$ , и  $r = q$ ,  $r = 1$ , показан на фигуре (кривая 1).

Пусть теперь точки  $\tau = \tau_1^\circ$  и  $\tau = \tau_2^\circ$  находятся внутри интервала  $0 \leq \tau \leq 1$ . При этом, как и прежде, основное изменение  $r$  будет происходить в окрестности  $\tau = \tau_1^\circ$ ; при  $\tau > \tau_1^\circ$  производная  $dr/d\tau$  снова становится малой, так как здесь рост экспоненциального множителя в выражении для  $dr/d\tau$  подавляется еще более резким уменьшением величины  $(1 - r)$ . Основное изменение  $q$  от 0 до 1 будет иметь место вблизи  $\tau = \tau_2^\circ$ , где обращается в единицу экспоненциальный множитель в выражении для производной  $dq/d\tau$ . Из условия  $r > q$  следует, что  $\tau_1^\circ < \tau_2^\circ$ , а из условия  $\tau - \sigma_Q r - (1 - \sigma_Q) q > 1$  следует, что  $\tau_1^\circ > \sigma_Q$ ,  $\tau_2^\circ = 1$ . С учетом (3.1) найдем

$$\alpha = 1 - \sigma_E, \quad (\sigma_Q + \sigma)(1 + \sigma_Q + 2\sigma)^{-1} < \sigma_E < 1/2$$

В этом случае интегральные кривые, выйдя из точки  $(\tau_e, 0, 0)$ , пройдут вдоль прямой  $r = 0$ ,  $q = 0$ , далее оставаясь вблизи поверхности  $q = 0$ , переходят к прямой  $r = 1$ ,  $q = 0$ , и после поворота около точки  $(1, 1, 0)$  проходят в окрестности прямой  $r = \tau = 1$  в особую точку  $(1, 1, 1)$  (кривая 2 на фигуре). Производные интегральных кривых в особой точке определяются формулой (2.2), из которой можно найти, что в рассматриваемом случае  $(dq/d\tau)_+ \rightarrow \infty$ .

При  $0 < \sigma_E < (\sigma_Q + \sigma)(1 + \sigma_Q + 2\sigma)^{-1}$  интегральные кривые задачи (1.8)–(1.11) при больших  $\beta$  также обладают общими особенностями. В этом случае следует выбрать  $\alpha = \sigma_E(1 + \sigma)(\sigma_Q + \sigma)^{-1}$ . При этом  $\tau_1^\circ = \sigma_Q$ ,  $\tau_2^\circ > 0$ ; экспоненциальный множитель  $\exp(-\alpha\beta)$  компенсирует малый экспоненциальный множитель лишь в выражении для  $dr/d\tau$ , в то время как «выравнивание» порядков в левой и правой частях уравнения (1.9) обеспечивается соответствующим экспоненциальным поведением знаменателя в правой части (1.9). Рост  $r$  от 0 до 1 происходит в малой окрестности точки  $\tau = \sigma_Q$ . Увеличение  $q$  от 0 до 1 происходит «равномерно» на всем участке  $\sigma_Q \leq \tau \leq 1$ . Ход интегральной кривой показан на фигуре (кривая 3). В особой точке  $(1, 1, 1)$  интегральные кривые имеют производные (2.2). Можно убедиться, что в отличие от кривой 2 производная  $dq/d\tau$  в особой точке в этом случае имеет конечную величину.

Из проведенного качественного анализа можно заключить, что асимптотическое поведение интегральных кривых задачи существенно различается при изменении величины  $\sigma_E$  в следующих интервалах:

$$\begin{aligned} 1/2 < \sigma_E \leq 1, & \quad \sigma_E = 1/2, & \quad (\sigma_Q + \sigma)(1 + \sigma_Q + 2\sigma)^{-1} < \sigma_E < 1/2 \\ & & \quad 0 \leq \sigma_E < (\sigma_Q + \sigma)(1 + \sigma_Q + 2\sigma)^{-1} \end{aligned}$$

Этот вывод подтверждается фактическим построением четырех различных решений. При выборе вида асимптотического разложения оказывается полезным знание асимптотических решений более простой задачи, рассмотренной в работе [4].

4. Решение при  $1/2 < \sigma_E \leq 1$ . В этом случае следует выделить две области с различным асимптотическим поведением решений — малую окрестность точки  $\tau = 1$  (внутренняя область) и остальную часть интервала (внешняя область). Во внутренней области вместо  $\tau$  введем перемен-

ную  $\tau^* = \beta(1 - \tau)$  и будем искать решение в каждой из областей в виде внешних и внутренних разложений

$$r(\tau^*) = f_0(\beta)r_0(\tau^*) + f_1(\beta)r_1(\tau^*) + \dots, \quad r(\tau) = F_0(\beta)r_0(\tau) + F_1(\beta)r_1(\tau) + \dots \\ (f_1/f_0 \rightarrow 0, F_1/F_0 \rightarrow 0, \beta \rightarrow \infty) \quad (4.1)$$

$$q(\tau^*) = n_0(\beta)q_0(\tau^*) + n_1(\beta)q_1(\tau^*) + \dots, \quad q(\tau) = N_0(\beta)q_0(\tau) + N_1(\beta)q_1(\tau) + \dots \\ (n_1/n_0 \rightarrow 0, N_1/N_0 \rightarrow 0, \beta \rightarrow \infty) \quad (4.2)$$

Разложение для собственного значения  $\mu$  в обеих областях ищем в виде

$$\mu = \varphi_0(\beta)\mu_0 + \varphi_1(\beta)\mu_1 + \dots, \quad \varphi_1/\varphi_0 \rightarrow 0 \text{ при } \beta \rightarrow \infty \quad (4.3)$$

Внешние разложения должны удовлетворять граничным условиям (1.10), внутренние — условиям (1.11). Соответствие между разложениями во внешней и внутренней областях устанавливается из условия сращивания, которое состоит в требовании одинакового предельного поведения внутренних и внешних разложений, записанных в одинаковых переменных [3, 4]. Ограничимся определением двух членов разложений (4.1)–(4.3).

После перехода к переменной  $\tau^*$  и подстановки разложений (4.1)–(4.3) в (1.8), (1.9), (1.11) с точностью до членов более высокого порядка малости получим

$$-\beta\varphi_0\mu_0 \frac{dr_0}{d\tau^*} = \frac{\sigma_k(1-r_0)}{1-\sigma_Q r_0 - (1-\sigma_Q)q_0} \exp\left[-\beta\sigma_E - \frac{\sigma_E \tau^*}{1+\sigma}\right] \quad (4.4)$$

$$-\beta\varphi_0\mu_0 \frac{dq_0}{d\tau^*} = \frac{(1-\sigma_k)(r_0 + f_1 r_1 - q_0 - n_1 q_1)}{1-\sigma_Q r_0 - (1-\sigma_Q)q_0} \exp\left[-\beta(1-\sigma_E) - \frac{(1-\sigma_E)\tau^*}{1+\sigma}\right] \quad (4.5)$$

$$\tau^* = 0, \quad r_0 = 1, \quad q_0 = 1 \quad (4.6)$$

В уравнениях (4.4), (4.5) использовано равенство  $n_0(\beta) = f_0(\beta) = 1$ , которое следует из (4.6).

Из (4.4) видно, что для выравнивания порядков малости левой и правой частей в (4.4) следует выбрать

$$\varphi_0(\beta) = \beta^{-1} \exp(-\beta\sigma_E) \quad (4.7)$$

При этом уравнению (4.5) можно удовлетворить, если принять

$$r_0 = q_0, \quad f_1 = n_1, \quad r_1 = q_1 \quad (4.8)$$

Это означает, что различие между функциями  $r_0, q_0$  и  $r_1, q_1$  экспоненциально мало

$$r_0 + f_1 r_1 - q_0 - n_1 q_1 \sim \frac{\sigma_k}{1-\sigma_k} e^{-(2\sigma_E-1)\beta} \exp\left[-\frac{(2\sigma_E-1)\tau^*}{1+\sigma}\right] \quad (4.9)$$

Теперь из (4.4), (4.6) с учетом (4.7), (4.8) найдем

$$r_0(\tau^*) = 1 - \frac{\sigma_k(1+\sigma)}{\mu_0\sigma_E} \left[1 - \exp\left[-\frac{\sigma_E \tau^*}{1+\sigma}\right]\right] \quad (4.10)$$

Приняв во внимание (4.7), можно убедиться, что решения  $r(\tau)$  и  $q(\tau)$  уравнений (1.8), (1.9) во внешней области экспоненциально малы. Поэтому во внешних разложениях (4.1), (4.2)

$$r_0(\tau) = q_0(\tau) = r_1(\tau) = q_1(\tau) = 0$$

Тогда условие сращивания сводится к требованию

$$r_0(\tau^*) \rightarrow 0, \quad q_0(\tau^*) \rightarrow 0, \quad r_1(\tau^*) \rightarrow 0, \quad q_1(\tau^*) \rightarrow 0 \text{ при } \tau^* \rightarrow \infty \quad (4.11)$$

Применяя (4.11) к (4.10), найдем

$$\mu_0 = \frac{\sigma_k(1+\sigma)}{\sigma_E}, \quad r_0(\tau^*) = \exp \frac{-\sigma_E \tau^*}{1+\sigma} \quad (4.12)$$

Перейдем к определению второго приближения. После перехода к переменной  $\tau^*$  и подстановки двучленных разложений (4.1) — (4.3) в (1.8), (1.9) с учетом (4.9), сохраняя в уравнениях члены более высокого, чем при определении  $r_0, q_0, \mu_0$ , порядка малости, для  $r_1(\tau^*)$  получим уравнение

$$\beta \mu_1 \varphi_1 \frac{dr_0}{d\tau^*} + \beta \mu_0 \varphi_0 f_1 \frac{dr_1}{d\tau^*} = \sigma_k \frac{1}{\beta} \left[ \frac{\sigma_E \tau^{*2}}{(1+\sigma)^2} - \frac{\tau^*}{1-r_0} \right] \exp \left( -\beta \sigma_E - \frac{\sigma_E \tau^*}{1+\sigma} \right) \quad (4.13)$$

Определение из (4.13) функции  $r_1(\tau^*)$ , удовлетворяющей граничному условию и условию сращивания, станет возможным, если

$$f_1(\beta) = \beta^{-1}, \quad \varphi_1(\beta) = \beta^{-1} \varphi_0(\beta) = \beta^{-2} \exp(-\beta \sigma_E) \quad (4.14)$$

Уравнение и граничное условие для  $r_1$  примут вид

$$\mu_0 \frac{dr_1}{d\tau^*} = \sigma_k \left[ \frac{\sigma_E \tau^{*2}}{(1+\sigma)^2} - \frac{\tau^*}{1-r_0(\tau^*)} + \frac{\mu_1}{\mu_0} \right] \exp \frac{-\sigma_E \tau^*}{1+\sigma} \quad (4.15)$$

$$\tau^* = r_1 = 0$$

Здесь  $\mu_0$  и  $r_0(\tau^*)$  определены формулами (4.12). Из (4.15) найдем

$$r_1(\tau^*) = \frac{\mu_1 \sigma_E}{\sigma_k(1+\sigma)} \left[ 1 - \exp \frac{-\sigma_E \tau^*}{1+\sigma} \right] + \frac{2}{\sigma_E} - \frac{(1+\sigma)}{\sigma_E} J \left( \frac{\sigma_E \tau^*}{1+\sigma} \right) -$$

$$- \frac{2}{\sigma_E} \left[ 1 + \frac{\sigma_E \tau^*}{1+\sigma} + \frac{\sigma_E^2 \tau^{*2}}{2(1+\sigma)} \right] \exp \frac{-\sigma_E \tau^*}{1+\sigma} \quad (4.16)$$

$$J(\alpha) = \int_0^\alpha (e^z - 1)^{-1} z dz, \quad J(\infty) = \frac{\pi^2}{6}$$

Применив к (4.16) условие сращивания (4.11), найдем

$$\mu_1 = \frac{\sigma_k(1+\sigma)}{\sigma_E^2} \left[ (1+\sigma) \frac{\pi^2}{6} - 2 \right] \quad (4.17)$$

Таким образом двучленные внутренние и внешние разложения функций  $r(\tau)$  и  $q(\tau)$  и разложение собственного значения  $\mu$ , представляющие собой приближенное решение задачи (1.8)–(1.11) в рассматриваемом частном случае, имеют вид

$$r(\tau^*) = q(\tau^*) = r_0(\tau^*) + \beta^{-1} r_1(\tau^*), \quad r(\tau) = q(\tau) = 0, \quad (4.18)$$

$$\mu = \beta^{-1} (\mu_0 + \beta^{-1} \mu_1) \exp(-\beta \sigma_E)$$

Здесь  $r_1, r_0, \mu_0, \mu_1$  определяются формулами (4.12), (4.16), (4.17). Запишем двучленное выражение для массовой скорости распространения горения в размерных переменных

$$m = \left[ \frac{k_1 \lambda \rho (1+\sigma)}{c} \right]^{1/2} \left( \frac{E_1}{RT_+} \right)^{-1/2} \left\{ 1 + \left( \frac{E_1}{RT_+} \right)^{-1} \left[ (1+\sigma) \frac{\pi^2}{12} - 1 \right] \right\} \exp \frac{-E_1}{2RT_+} \quad (4.19)$$

Видно, что в рассмотренном частном случае скорость горения зависит только от кинетических параметров  $k_1$ ,  $E_1$  первой реакции.

Сравнение (4.19) с полученной в [4] формулой для скорости распространения одностадийной экзотермической реакции в конденсированной фазе показывает, что наличие второй реакции проявляется лишь в значении температуры горения, которая определяется суммарным тепловыделением двух реакций.

5. Решение при  $\sigma_E = 1/2$ . Система уравнений (1.8), (1.9) может быть сведена к одному уравнению. После подстановки  $\sigma_E = 1/2$  и деления (1.9) на (1.8) получим

$$\frac{dq}{dr} = \frac{(1 - \sigma_k)}{\sigma_k} \frac{r - q}{1 - r} \quad (5.1)$$

При помощи (5.1) выразим  $q$  через  $r$

$$q(r) = \begin{cases} (1 - \delta_k)^{-1} [1 - \delta_k r - (1 - r)^{\delta_k}], & \delta_k = \sigma_k^{-1} (1 - \sigma_k), \sigma_k \neq 1/2 \\ r + (1 - r) \ln(1 - r), & \sigma_k = 1/2 \end{cases} \quad (5.2)$$

С учетом (5.2) задача (1.8)–(1.11) сводится к решению одного уравнения с условиями

$$\mu \frac{dr}{d\tau} = \frac{\sigma_k (1 - r)}{\tau - \sigma_Q r - (1 - \sigma_Q) q(r)} \exp \left[ -\frac{\beta}{2} - \frac{\beta(1 - \tau)}{2(\sigma + \tau)} \right] \quad (5.3)$$

$$\tau = 0, \quad r = 0 \quad (5.4)$$

$$\tau = 1, \quad r = 1 \quad (5.5)$$

Здесь функция  $q(r)$  задана формулой (5.2).

При построении приближенного решения задачи (5.3)–(5.5) аналогично п. 4 выделим внутреннюю и внешнюю области изменения переменной  $\tau$ ; в окрестности  $\tau = 1$  введем переменную  $\tau^* = \beta(1 - \tau)$  и будем искать функцию  $r$  и собственное значение  $\mu$  в виде разложений (4.1)–(4.3). Из (5.3), (5.5) для нулевого приближения получим

$$-\mu_0 \beta \varphi_0 \frac{dr_0}{d\tau^*} = \frac{\sigma_k (1 - r_0)}{1 - \sigma_Q r_0 - (1 - \sigma_Q) q_0(r_0)} \exp \left[ -\frac{\beta}{2} - \frac{\tau^*}{2(1 + \sigma)} \right], \quad r_0(0) = 1 \quad (5.6)$$

Здесь, как и в п. 4,  $f_0(\beta) = 1$ . Зависимость  $q_0(r_0)$  устанавливается из (5.2). Для компенсации малого экспоненциального члена в правой части уравнения (5.6) положим

$$\varphi_0(\beta) = \beta^{-1} \exp(-\beta/2) \quad (5.7)$$

С учетом (5.7), (5.2) из (5.6) можно найти

$$\mu_0 (1 - r_0) \{1 + (1 - \sigma_Q) [1 - \ln(1 - r_0)]\} = (1 + \sigma) \left[ 1 - \exp \frac{-\tau^*}{2(1 + \sigma)} \right] \quad (5.8)$$

$(\sigma_k = 1/2)$

$$\frac{\mu_0 (1 - r_0)}{1 - \delta_k} \left[ \sigma_Q - \delta_k + \frac{1 - \sigma_Q}{\delta_k} (1 - r_0)^{\delta_k - 1} \right] = 2\sigma_k (1 + \sigma) \left[ 1 - \exp \frac{-\sigma_E \tau^*}{1 + \sigma} \right] \quad (5.9)$$

$(\sigma_k \neq 1/2)$

Применив к (5.8), (5.9) условие сращивания, которое как и в п. 4 выражается в требовании  $r_0(\tau^*) \rightarrow 0$  при  $\tau^* \rightarrow \infty$  получим

$$\mu_0 = \frac{(1 - \sigma_k) \sigma_k (1 + \sigma)}{(1 - \sigma_k \sigma_Q) \sigma_E}, \quad m_0 = \left[ \frac{k_1 k_2 \lambda \rho T_+}{k_1 Q_2 + k_2 (Q_1 + Q_2)} \right]^{1/2} \left( \frac{E}{RT_+} \right)^{-1/2} \exp \frac{-E}{2RT_+} \quad (5.10)$$

Формулы (5.8)—(5.10) определяют нулевое приближение для функции и собственного значения задачи  $\mu$ . Следующие члены разложений, которые дадут поправку порядка  $\beta^{-1}$ , не могут быть получены в аналитической форме, их определение сводится к численному интегрированию несложного обыкновенного дифференциального уравнения первого порядка

$$\frac{dr_1}{d\tau^*} = \left\{ \frac{\tau^{*2}}{2(1+\sigma)^2} - \frac{\tau^* + \sigma_Q r_1 + r_1(1-\sigma_Q) \frac{\sigma_k}{\mu_0} [\bar{r}_0 - q_0(r_0)](1-r_0)^{-1}}{1-\sigma_Q r_0 - (1-\sigma_Q) q_0(r_0)} + \frac{r_1}{1-r_0} + \right. \\ \left. + \frac{\mu_1}{\mu_0} \right\} \frac{\sigma_k}{\mu_0} \frac{(1-r_0)}{[1-\sigma_Q r_0 - (1-\sigma_Q) q_0(r_0)]} \exp \frac{-\tau^*}{2(1+\sigma)}, \quad r_1(0) = 0 \quad (5.11)$$

Заметим, что выражение (5.10) для  $\mu_0$  совпадает с (4.12) при  $\sigma_k \ll 1$  ( $k_2 \gg k_1$ ). Этот результат выражает тот факт, что при равенстве энергий активаций двух реакций, определяющим фактором при сравнении скоростей химического реагирования становится относительная величина предэкспоненциальных множителей. При  $k_2 \gg k_1$  разность  $r - q$  мала, отличие от п. 4 становится несущественным.

6. Решение при  $(\sigma_Q + \sigma)(1 + \sigma_Q + 2\sigma)^{-1} < \sigma_E < 1/2$ . В данном случае разбиение интервала  $0 \leq \tau \leq 1$  на внутреннюю и внешнюю области для уравнений (1.8) и (1.9) будет различным. Для уравнения (1.9) внутренней областью будет малая окрестность  $\tau = \tau_2^0 = 1$ , внешней — остальная часть интервала. Для уравнения (1.8) внутренней областью будет малая окрестность некоторой точки  $\tau = \tau_1^0 < 1$ , внешняя область будет состоять из двух отрезков интервала  $0 \leq \tau \leq i$ , отделяющих малую окрестность точки  $\tau_1^0$  от точек  $\tau = 1$  и  $\tau = 0$ . Построение решения сводится к отысканию внешних и внутренних разложений для каждого из двух разбиений интервала.

Исследуем область, примыкающую к  $\tau = \tau_2^0 = 1$ . Вместо переменной  $\tau$  в (1.8)—(1.11) введем  $\tau_2^* = \beta(1 - \tau)$ . Приближенное решение во внутренней области будем искать в виде двучленных разложений

$$\mu = \varphi_0(\beta) \mu_0 + \varphi_1(\beta) \mu_1, \quad r(\tau_2^*) = f_0(\beta) r_0(\tau_2^*) + f_1(\beta) r_1(\tau_2^*) \\ q(\tau_2^*) = n_0(\beta) q_0(\tau_2^*) + \eta_1(\beta) q_1(\tau_2^*) \quad (6.1) \\ \varphi_1/\varphi_0 \rightarrow 0, \quad f_1/f_0 \rightarrow 0, \quad \eta_1/n_0 \rightarrow 0 \quad \text{при} \quad \beta \rightarrow \infty$$

Из граничных условий (1.11) найдем

$$f_0(\beta) = n_0(\beta) = 1 \quad (6.2)$$

В рассматриваемом частном случае следует выбрать

$$\varphi_0(\beta) = \beta^{-1} \exp[-(1 - \sigma_E)\beta], \quad \varphi_1(\beta) = \beta^{-1} \varphi_0(\beta), \\ n_0(\beta) = i, \quad \eta_1(\beta) = \beta^{-1} \quad (6.3)$$

После подстановки (6.1) в уравнение (1.8) с учетом (6.2), (6.3) можно получить

$$1 - r(\tau_2^*) \sim \exp(2\sigma_E - 1)\beta$$

Видно, что функция  $r(\tau_2^*)$  при  $\beta \rightarrow \infty$  отличается от единицы лишь малым экспоненциальным членом, поэтому

$$r_0(\tau_2^*) = 1, \quad r_1(\tau_2^*) = 0$$

Уравнение и граничное условие для функции  $q_0(\tau_2^*)$  имеют вид

$$-\mu_0 \frac{dq_0}{d\tau_2^*} = \frac{(1-\sigma_k)}{(1-\sigma_Q)} \exp \frac{-(1-\sigma_E)\tau^*}{1+\sigma}, \quad q_0(0) = 1 \quad (6.4)$$



Из (6.4) находим

$$q_0(\tau_2^*) = 1 - \frac{(1 - \sigma_k)(1 + \sigma)}{\mu_0(1 - \sigma_Q)(1 - \sigma_E)} \left[ 1 - \exp \frac{-(1 - \sigma_E)\tau_2^*}{1 + \sigma} \right] \quad (6.5)$$

Константа  $\mu_0$  в (6.5) должна определяться из условия срачивания (6.5) с решением  $q(\tau)$  во внешней области, которое с точностью до экспоненциальных членов равно нулю. Поэтому условие срачивания выражается в требовании

$$q_0(\tau_2^*) \rightarrow 0, \quad q_1(\tau_2^*) \rightarrow 0 \text{ при } \tau_2^* \rightarrow \infty \quad (6.6)$$

Применив (6.6) к (6.5), получим

$$\mu_0 = \frac{(1 - \sigma_Q)(1 - \sigma_E)}{(1 - \sigma_k)(1 + \sigma)}, \quad q_0(\tau_2^*) = \exp \frac{-(1 - \sigma_E)\tau_2^*}{1 + \sigma} \quad (6.7)$$

Из (1.9) после подстановки  $\tau_2^* = \beta(1 - \tau)$  и (6.1), сохранив члены более высокого порядка малости, с учетом (6.2)–(6.4) можно получить уравнение для  $q_1$

$$\mu_0 \frac{dq_1}{d\tau_2^*} = \frac{(1 - \sigma_k)}{(1 - \sigma_Q)} \left\{ \frac{\mu_1}{\mu_0} + \frac{(1 - \sigma_E)\tau_2^{*2}}{(1 + \sigma)^2} - \frac{\tau_2^*}{(1 - \sigma_Q)(1 - q_0)} \right\} \exp \frac{-(1 - \sigma_E)\tau_2^*}{1 + \sigma} \quad (6.8)$$

Решение уравнения (6.8), удовлетворяющее условию  $q_1(0) = 0$ , имеет вид

$$q_1(\tau_2^*) = \frac{\mu_1(1 - \sigma_k)(1 - \sigma_E)}{(1 - \sigma_Q)(1 + \sigma)} \left[ 1 - \exp \frac{-(1 - \sigma_E)\tau_2^*}{1 + \sigma} \right] - \frac{(1 + \sigma)}{(1 - \sigma_Q)(1 - \sigma_E)} J \left[ \frac{(1 - \sigma_E)\tau_2^*}{1 + \sigma} \right] + \frac{2}{1 - \sigma_E} - \left[ \frac{2}{1 - \sigma_E} + \frac{2\tau_2^*}{1 + \sigma} + \frac{(1 - \sigma_E)\tau_2^{*2}}{(1 + \sigma)^2} \right] \exp \frac{-(1 - \sigma_E)\tau_2^*}{1 + \sigma} \quad (6.9)$$

Здесь функция  $J$  определена так же, как в (4.17).

Из условия (6.6) найдем

$$\mu_1 = \frac{(1 - \sigma_k)(1 + \sigma)}{(1 - \sigma_Q)(1 - \sigma_E)^2} \left[ \frac{(1 + \sigma)}{(1 - \sigma_Q)} \frac{\pi^2}{6} - 2 \right] \quad (6.10)$$

Формулы (6.7), (6.9), (6.10) дают приближенные выражения для собственного значения  $\mu$  функции  $q$ . Однако, для того чтобы они могли рассматриваться как приближенное решение задачи (1.8)–(1.11), необходимо еще определить приближенное выражение для функции  $r(\tau)$ , согласующееся со всеми введенными при определении  $\mu$  и  $q$  предположениями. Предполагалось, в частности, что в окрестности  $\tau = 1$  функция  $r(\tau)$  равна единице с точностью до малых экспоненциальных членов. Приняв во внимание явный вид  $\mu$ , из уравнения (1.8) можно заключить, что областью существенного изменения  $r$  является малая окрестность точки  $\tau = \tau_1^0 = \sigma_E(1 + \sigma)(1 - \sigma_E)^{-1} - \sigma$ . В этой области введем вместо  $\tau$  переменную  $\tau_1^* = \beta(\tau_1^0 - \tau)$  и будем искать решения в виде внутренних разложений

$$\begin{aligned} r(\tau_1^*) &= f_0^{(1)}(\beta) r_0(\tau_1^*) + f_1^{(1)}(\beta) r_1(\tau_1^*) \\ q(\tau_1^*) &= n_0^{(1)}(\beta) q_0(\tau_1^*) + n_1^{(1)}(\beta) q_1(\tau_1^*) \end{aligned} \quad (6.11)$$

Точка  $\tau = \tau_1^0$  является внутренней точкой интервала, поэтому граничные условия, которым должны удовлетворять функции (6.11), представляют собой условия срачивания внутренних разложений (6.11) с решениями уравнений (1.8), (1.9) во внешних областях. Можно убедиться, что во внешних областях при  $\beta \rightarrow \infty$  функция  $q(\tau)$  экспоненциально близка к нулю, а функция  $r(\tau)$  — к единице ( $\tau > \tau_1^0$ ) и нулю ( $\tau < \tau_1^0$ ), поэтому условия срачивания принимают вид

$$r_0(\tau_1^*) \rightarrow 0, \quad r_1(\tau_1^*) \rightarrow 0, \quad q_0(\tau_1^*) \rightarrow 0, \quad q_1(\tau_1^*) \rightarrow 0 \quad \text{при } \tau_1^* \rightarrow \infty \quad (6.12)$$

$$r_0(\tau_1^*) \rightarrow 1, \quad r_1(\tau_1^*) \rightarrow 0, \quad q_0(\tau_1^*) \rightarrow 0, \quad q_1(\tau_1^*) \rightarrow 0 \quad \text{при } \tau_1^* \rightarrow -\infty \quad (6.13)$$

Подставляя (6.11) в записанные в переменной  $\tau_1^*$  уравнения (1.8), (1.9), после оценки величин с учетом явного вида  $\mu$  можно получить, что

$$q_0(\tau_1^*) = q_1(\tau_1^*) = 0, \quad f_0^{(1)}(\beta) = 1, \quad f_1^{(1)}(\beta) = \beta^{-1} \quad (6.14)$$

При этом уравнение для  $r_0(\tau_1^*)$  может быть записано в виде

$$-\frac{(1-\sigma_E)(1-\sigma_Q)}{\sigma_k(1-\sigma_k)(1+\sigma)} \frac{dr_0}{d\tau_1^*} = \frac{1-r_0}{\tau_1^0 - \sigma_Q r_0} \exp \frac{-\sigma_E(1+\sigma)\tau_1^*}{(\tau_1^0 + \sigma)^2} \quad (6.15)$$

Из (6.15), (6.12) найдем неявное выражение для  $r_0(\tau_1^*)$

$$(\sigma_Q - \tau_1^0) \ln(1-r_0) + \sigma_Q r_0 = \frac{\sigma_k(1-\sigma_k)(\tau_1^0 + \sigma)^2}{(1-\sigma_Q)(1-\sigma_E)\sigma_E} \exp \frac{-\sigma_E(1+\sigma)\tau_1^*}{(\tau_1^0 + \sigma)^2} \quad (6.16)$$

Функция  $r_0(\tau_1^*)$ , определяемая соотношением (6.16), удовлетворяет условию срачивания (6.13), если только

$$\tau_1^0 > \sigma_Q \quad \text{или} \quad \sigma_E > (\sigma_Q + \sigma)(1 + \sigma_Q + 2\sigma)^{-1} \quad (6.17)$$

Неравенство (6.17) ограничивает снизу область значений  $\sigma_E$ , при которых структура волны двухстадийного превращения описывается построенным в этом разделе решением, т. е. состоит из двух обособленных зон, в каждой из которых в основном протекает одна из двух последовательных реакций.

Отметим, что определение функции  $r_1(\tau_1^*)$  в данном случае сводится к решению обыкновенного дифференциального уравнения первого порядка, не имеющего аналитического решения, и может быть произведено путем несложного численного интегрирования.

**7. Решение при  $0 < \sigma_E < (\sigma_Q + \sigma)(1 + \sigma_Q + 2\sigma)^{-1}$ .** Рассмотрение различных вариантов асимптотического поведения решения задачи (1.8) — (1.11) в указанном диапазоне изменения  $\sigma_E$  приводит к выводу о том, что областью основного изменения  $r$  от 0 до 1, как в п. 6, оказывается малая окрестность внутренней точки  $\tau = \tau_1^0$ , вне которой функция  $r$  отличается от 0 и 1 малыми экспоненциальными членами (при  $\tau < \tau_1^0$  и  $\tau > \tau_1^0$  соответственно). Однако теперь положение точки  $\tau_1^0$  не будет зависеть от  $\sigma_E$  и определяется равенством  $\tau_1^0 = \sigma_Q$ .

Поведение функции  $q$  будет существенно иным, чем в п. 6. При  $\tau < \sigma_Q$  функция  $q$  отличается от нуля малыми экспоненциальными членами (при  $\tau > \sigma_Q$  поведение  $q$  с точностью до малых экспоненциальных членов описывается линейной функцией  $(\tau - \sigma_Q)(1 - \sigma_Q)^{-1}$ .

Рассмотрим решения уравнений (1.8), (1.9) в окрестности точки  $\tau = \tau_1^0 = \sigma_Q$ . Введем переменную  $\tau_1^* = \beta(\sigma_Q - \tau)$  и будем строить решения в виде разложений

$$\begin{aligned} r(\tau_1^*) &= f_0^{(1)}(\beta) r_0(\tau_1^*) + f_1^{(1)}(\beta) r_1(\tau_1^*) \\ q(\tau_1^*) &= n_0^{(1)}(\beta) q_0(\tau_1^*) + n_1^{(1)}(\beta) q_1(\tau_1^*) \\ \mu &= \Phi_0(\beta) \mu_0 + \Phi_1(\beta) \mu_1 \end{aligned} \quad (7.1)$$

Прежде чем записать уравнения для членов минимального порядка, обратим внимание на следующие обстоятельства. Из предположения о том, что основное изменение  $r$  от 0 до 1 сосредоточено вблизи  $\tau = \sigma_Q$  следует, что в (7.1)  $f_0^{(1)}(\beta) = 1$ . В окрестности точки  $\tau = \sigma_Q$ , где  $r \sim 1$ , разложение функции  $q(\tau_1^*)$  не может начинаться с члена порядка единицы, так как в противном случае будет нарушено условие  $\tau \geq \sigma_Q r + (1 - \sigma_Q)q$ . Следовательно, если  $n_0^{(1)}(\beta) = 1$ , то  $q_0(\tau_1^*) = 0$ . Еще одно обстоятельство связано с тем, что точка  $(\sigma_Q, 1, 0)$  является особой точкой уравнения (1.8) (см. п. 2). Решение уравнения (1.8) около точки  $\tau = \sigma_Q$ , где по предположению функция  $q(\tau)$  по порядку величины меньше функции  $r(\tau)$ , должно быть близким к сепаратрисам, одна из которых описывается уравнениями  $r = 1, q = 0$ .

Из уравнения (1.8) видно, что если в окрестности  $\tau_1^0 = \sigma_Q$  функция  $q(\tau)$  существенно меньше функции  $r(\tau)$ , так что можно положить  $q(\tau) = 0$ , то при переходе к переменной  $\tau_1^* = \beta(\sigma_Q - \tau)$  характер решения сильно изменяется, так как решение  $r(\tau) = 1$  утрачивается. Поэтому при отыскании функции  $r(\tau_1^*)$  в качестве решения в области  $\tau > \sigma_Q$  следует принять

$$r_0(\tau_1^*) = 1, \quad r_1(\tau_1^*) = 0, \quad \tau_1^* < 0 \quad (7.2)$$

С учетом сделанных замечаний для функции  $r_0(\tau_1^*)$  при  $\tau_1^* < 0$  приходим к уравнению

$$-\mu_0 \varphi_0(\beta) \beta \frac{dr_0}{d\tau_1^*} = \frac{\sigma_k}{\sigma_Q} \exp \left[ -\frac{\beta \sigma_E (1 + \sigma)}{\sigma_Q + \sigma} - \frac{\sigma_E (1 + \sigma) \tau_1^*}{(\sigma_Q + \sigma)^2} \right] \quad (7.3)$$

Видно, что необходимо принять

$$\varphi_0(\beta) = \beta^{-1} \exp \frac{-\sigma_E (1 + \sigma) \beta}{\sigma_Q + \sigma} \quad (7.4)$$

С учетом (7.4) решение уравнения (7.3), удовлетворяющее условию срачивания с решением во внешней области ( $r_0(\tau_1^*) \rightarrow 0, \tau_1^* \rightarrow \infty$ ), получим в виде

$$r_0(\tau_1^*) = \frac{\sigma_k}{\mu_0 \sigma_Q} \frac{(\sigma_Q + \sigma)^2}{\sigma_E (1 + \sigma)} \exp \frac{-\sigma_E (1 + \sigma) \tau_1^*}{(\sigma_Q + \sigma)} \quad (7.5)$$

Константа  $\mu_0$  в (7.5) определяется из требования непрерывности функции  $r_0(\tau_1^*)$  в точке  $\tau = \sigma_Q$ ; имеем

$$\mu_0 = \frac{\sigma_k}{\sigma_Q} \frac{(\sigma_Q + \sigma)^2}{\sigma_E (1 + \sigma)}, \quad r_0(\tau_1^*) = \exp \frac{-\sigma_E (1 + \sigma) \tau_1^*}{\sigma_Q + \sigma} \quad (7.6)$$

После подстановки (7.4) в (1.9), учитывая полученные выше результаты; можно установить, что уравнение для  $q_1(\tau_1^*)$  приобретает форму

$$-\mu_0 r_1^{(1)} \frac{dq_1}{d\tau_1^*} = \frac{(1 - \sigma_n)(r_0 - n_1^{(1)} q_1)}{\sigma_Q (1 - r_0) - \beta^{-1} \tau_1^* - (1 - \sigma_Q) n_1^{(1)} q_1} \exp \left[ \delta_q - \frac{\sigma_E (1 + \sigma) \tau_1^*}{(\sigma_Q + \sigma)^2} \right],$$

$$\delta_q = \frac{-(1 - 2\sigma_E)(1 + \sigma)}{\sigma_Q + \sigma} < 0 \quad (7.7)$$

При определении функции  $q(\tau_1^*)$  необходимо учитывать, что функция  $r_0(\tau_1^*)$  имеет различный вид в областях  $\tau > \sigma_Q$  и  $\tau < \sigma_Q$ . Тогда из (7.7) можно видеть, что при  $\tau < \sigma_Q$ , когда функция  $r_0(\tau_1^*)$  определяется по (7.6), следует положить  $q_1(\tau_1^*) = 0$ , или же выбрать  $n_1^{(1)}(\beta)$  в виде экспоненциальной, а не степенной функции  $\beta^{-1}$ .

В области  $\tau > \sigma_Q$ , где  $r_0(\tau_1^*) = 1$ , функция  $q_1(\tau_1^*)$ , удовлетворяющая условию  $q_1(0) = 0$ , может быть найдена, если положить  $n_1^{(1)}(\beta) = \beta^{-1}$ . Получим

$$q_1(\tau_1^*) = -(1 - \sigma_Q)^{-1} \tau_1^* + O(\exp \delta_Q) \quad (7.8)$$

Найденные решения должны быть сопряжены с решениями в окрестности горячей границы  $\tau = 1$ .

Введем в (1.8), (1.9) вместо  $\tau$  переменную  $\tau^* = \beta(1 - \tau)$  и будем искать функции  $r(\tau^*)$ ,  $q(\tau^*)$  в виде разложений

$$\begin{aligned} r(\tau^*) &= f_0(\beta) r_0(\tau^*) + f_1(\beta) r_1(\tau^*) \\ q(\tau^*) &= n_0(\beta) q_0(\tau^*) + n_1(\beta) q_1(\tau^*) \end{aligned} \quad (7.9)$$

Анализируя возможные варианты асимптотического поведения функций  $r$  и  $q$  с учетом (7.4) и граничного условия (1.11), можно прийти к выводу, что в разложении (7.9) следует положить  $n_0(\beta) = 1$ ,  $f_0(\beta) = 1$ . Кроме того,  $r_0(\tau^*) = 1$ ,  $r_1(\tau^*) = 0$ , так как отличие  $r(\tau^*)$  от единицы может быть выражено лишь слагаемыми гораздо более высокого порядка малости, чем степени  $\beta^{-1}$ .

Уравнению для  $q(\tau^*)$  можно удовлетворить, полагая  $n_1(\beta) = \beta^{-1}$ . Тогда

$$q(\tau_1^*) = 1 - \frac{1}{\beta} \frac{\tau^*}{1 - \sigma_Q} + O\left(\exp\left[\frac{\sigma_E(1 + \sigma_Q + 2\sigma)}{\sigma_Q + \sigma} - 1\right]\beta\right) \quad (7.10)$$

Функция (7.10) удовлетворяет граничному условию на горячей границе. Переходя в (7.10) от переменной  $\tau^*$  к  $\tau_1^*$ , убеждаемся, что двучленное решение (7.10) сращивается с одночленным решением (7.8).

Полученные соотношения исчерпывают построение приближенного асимптотического решения задачи, позволяющего определить нулевой член в разложении собственного значения.

Перейдя в (7.6) к размерным переменным, запишем явное нулевое приближение выражения для массовой скорости волны экзотермического превращения. В рассматриваемом предельном случае

$$m^2 = \lambda_0 k_1 \frac{RT_+^{(1)}}{E_1} \frac{T_+^{(1)}}{Q_1} \exp \frac{-E_1}{RT_+^{(1)}}, \quad T_+^{(1)} \equiv T_- + c^{-1} Q_1 \quad (7.11)$$

Видно, что скорость горения зависит от кинетических характеристик и адиабатической температуры первой стадии. При этом нулевое приближение (7.11) совпадает с формулой для скорости распространения одностадийной реакции с кинетическими характеристиками  $k_1$ ,  $E_1$  и температурой горения  $T_+^{(1)}$ , полученной методом Зельдовича — Франк-Камеянецкого [1].

Можно определить также следующий член в разложении собственного значения  $\mu$ . Для этого достаточно рассмотреть уравнение для  $r_1(\tau_1^*)$  вблизи  $\tau = \sigma_Q$  при  $\tau < \sigma_Q$ . Можно получить

$$\begin{aligned} \mu_0 \frac{dr_1}{d\tau_1^*} &= \frac{\sigma_k}{\sigma_Q} \left[ \frac{\mu_1}{\mu_0} + \frac{\sigma_E(1 + \sigma)\tau_1^{*2}}{(\sigma + \sigma_Q)^2} - \frac{\tau_1^*}{\sigma_Q(1 - r_0)} \right] \times \\ &\times \exp \frac{-\sigma_E(1 + \sigma)\tau_1^*}{(\sigma + \sigma_Q)^2}, \quad r_1(0) = 0 \end{aligned} \quad (7.12)$$

Интегрируя (7.12), найдем

$$r_1(\tau_1^*) = \frac{\mu_1 \sigma_Q \sigma_E (1 + \sigma)}{\sigma_k (\sigma + \sigma_Q)^2} \left[ 1 - \exp \frac{-\sigma_E (1 + \sigma) \tau_1^*}{(\sigma + \sigma_Q)^2} \right] + \frac{2(\sigma + \sigma_Q)}{\sigma_E (1 + \sigma)} - \left[ \frac{\sigma_E (1 + \sigma) \tau_1^{*2}}{(\sigma + \sigma_Q)^3} + \frac{2\tau_1^*}{(\sigma + \sigma_Q)} + \frac{2(\sigma + \sigma_Q)}{\sigma_E (1 + \sigma)} \right] - \frac{(\sigma + \sigma_Q)^2}{\sigma_E \sigma_Q (1 + \sigma)} J \left[ \frac{\sigma_E (1 + \sigma) \tau_1^*}{(\sigma + \sigma_Q)^2} \right]. \quad (7.13)$$

Из условия срачивания  $r_1 \rightarrow 0$ ,  $\tau_1^* \rightarrow \infty$  получим

$$\mu_1 = \frac{\sigma_k (\sigma + \sigma_Q)^4}{\sigma_Q \sigma_E^2 (1 + \sigma)^2} \left[ \frac{\pi^2}{6\sigma_Q} - \frac{2}{\sigma + \sigma_Q} \right] \quad (7.14)$$

**8. Обсуждение результатов.** Установленные в п. 4—7 аналитические соотношения позволяют по заданным физико-химическим характеристикам конденсированной системы провести классификацию режимов горения, приближенно рассчитать скорость распространения фронта горения и исследовать профили концентраций и температуры. Ввиду отсутствия точного численного решения рассмотренной задачи сопоставим полученные результаты с данными работы [5], в которой выполнены детальные численные расчеты распространения волны горения в газе, обусловленной протеканием двухстадийной последовательной экзотермической реакции.

Несмотря на различие распространения пламени в газе и горения безгазовой конденсированной системы, нетрудно заметить аналогию между режимами, выделенными в [5] путем анализа результатов численного расчета и различными асимптотическими решениями, построенными в данной работе.

Воспользовавшись введенной в [6] удачной терминологией, следует называть режим, которому соответствуют решения п. 4, слиянием, режим п. 6 — управлением и режим п. 7 — отрывом. Режим, изученный в п. 5 естественно назвать неполным слиянием. В режиме слияния,  $E_1 > E_2$ , скорость горения в основном определяется кинетикой первой из реакций и адиабатической температурой полного превращения. В режиме управления  $E_2 > E_1$ ,  $E_1/T_+^{(1)} < E_2/T_+$ , скорость горения определяется в основном кинетикой второй реакции и адиабатической температурой полного превращения, в режиме отрыва  $E_2 > E_1$ ,  $E_1/T_+^{(1)} > E_2/T_+$ , скорость горения определяется характеристиками и адиабатической температурой первой стадии, вторая реакция протекает в индукционном режиме.

Поступила 5 X 1972

#### ЛИТЕРАТУРА

1. Зельдович Я. Б., Франк-Каменецкий Д. А. Теория теплового распространения пламени. Ж. физ. химии, 1938, т. 12, вып. 1.
2. Новиков С. С., Рязанцев Ю. С. К теории горения конденсированных систем. Докл. АН СССР, 1964, т. 157, № 6.
3. Ван-Дайк М. Методы возмущений в механике жидкости. М., «Мир», 1967.
4. Берман В. С., Рязанцев Ю. С. Применение метода срачиваемых асимптотических разложений к расчету стационарного теплового распространения фронта экзотермической реакции в конденсированной среде. ПМТФ, 1972, № 5.
5. Хайкин Б. И., Филоненко А. К., Худяев С. И. Распространение пламени при протекании в газе двух последовательных реакций. Физика горения и взрыва, 1968, т. 4, № 4, стр. 591—594.
6. Мержанов А. Г., Руманов Э. И., Хайкин Б. И. Многозонное горение конденсированных систем. ПМТФ, 1972, № 6.